



T.			U_f	I_f	U_a	U_g	I_a	S	R_i	μ	maximum			
											U_a	$I_{a(diod.)}$	P_a	$U_{f/k}$
											V	mA	W	V
EBC 91	eur	1	6,3	0,3	100	-1	0,5	1,25	80	100	300	1	0,5	90
HBC 91	eur	1	12,6	0,15										
3 AV 6	amer	1	3,15	0,6										
26 BK 6	amer	1	26,5	0,07										
6 AW 7	amer	2	6,3	0,75	100	0	1,4	1,2	66,6	80				
2 A 6	amer	3	2,5	0,8	100	-1	0,4	0,9	110	100	300	1	0,5	90
6 B 6-G	amer	4	6,3	0,3										
6 SQ 7	int	5	6,3	0,3										
7 B 6	amer	6	6,3	0,3										
12 SQ 7	int	5	12,6	0,15	250	-2	0,9	1,1	91	100	300	1	0,5	90
14 B 6	amer	6	12,6	0,15	250	-1	1,9	1,5	67	100	300	1	0,5	90
75	amer	3	6,3	0,3										
7 C 6	int	7	6,3	0,15	{100 250	0 -1	1 1,3	0,85 1	100 100	85 100	300	1		90
7 X 7	amer	8	6,3	0,3	100	0	1,2	1	85	85	300	1	0,5	90
14 X 7	amer	8	12,6	0,15	250	-1	1,9	1,5	67	100				

Equivalents

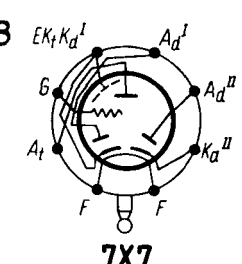
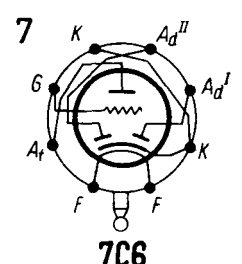
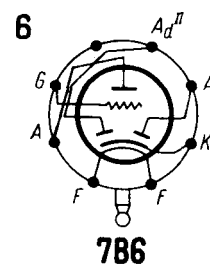
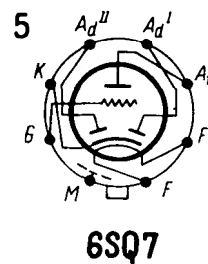
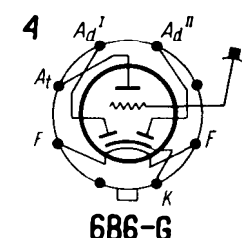
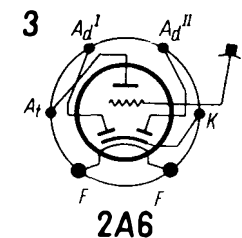
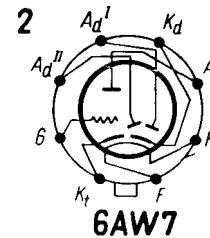
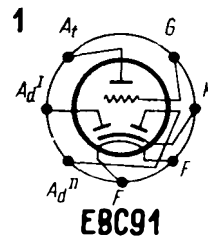
T.	$C_{g/k}$	$C_{a;k}$	$C_{g/a}$	$C_{d/g}^I$	$C_{d/g}^{II}$
	pF	pF	pF	pF	pF
6 SQ 7	3,2	3	1,6		
6 SQ 7-GT	4,2	3,4	1,8	0,01	0,04
7 B 6	3	2,4	1,6		
7 C 6	2,8	2,4	1,6	0,01	0,04
	2,2	0,8	2	0,06	0,04
EBC 91	$C_{d/k}^I = 0,7$ pF; $C_{d/k}^{II} = 1$ pF; $C_{d/d}^I = 1,2$ pF; $C_{d/f}^I = 0,06$ pF; $C_{d/f}^{II} = 0,2$ pF; $C_{g/f} = 0,1$ pF				

A 4006 B	amer = 2 A B	7 B 6-LM	Syl = 7 B 6
DH 149	Marc = 7 C 6	12 AV 6	amer = HBC 91
HF 3105	RFT = 6 SQ 7	12 BC 32	Tes = HBC 91
OSW 3105	RFT = 6 SQ 7	12 BK 6	amer = HBC 91
XXFM	amer = 7 X 7	12 Γ 2	CCCP = 12 SQ 7
2 A 6 S	amer = 2 A 6	12 P 17B	CCCP = 12 SQ 7
6 AV 6	amer = EBC 91	12 SQ 7-GT	int = 12 SQ 7
6 BC 32	Tes = EBC 91	75 S	amer = 75
6 BK 6	amer = EBC 91	175	amer = 75
6 Γ 2	CCCP = 6 SQ 7	375	amer = 75
6 P 17B	CCCP = 6 SQ 7	675	amer = 75
6 SQ 7-GT	int = 6 SQ 7	1659	amer = 2 A 6
6 SQ 7 W ¹⁾	amer = 6 SQ 7		

¹⁾ vide * 4, a, b ($U_f = 6,3$ V \pm 10%)

EBC 91 Fig. 1 ($C_k = 50 \mu\text{F}$; $C = 10 \text{ nF}$)

U_b	R_a	R_k	R	R_g	I_a	$U_{a\approx}$	μ	h
V	M Ω	k Ω	M Ω	M Ω	mA	V	$U_{a\approx}/U_{g\approx}$	%
200	0,22	3,3	1	0,68	0,36	24	56	4,6
200	0,1	1,8	1	0,33	0,65	20	50	4,8
250	0,22	2,7	1	0,68	0,48	28	66,5	3,4
250	0,1	1,5	1	0,33	0,86	26	54,5	3,9
200	0,22	—	10	0,68	0,39	24	58	4,6
200	0,1	—	10	0,33	0,7	20	50	3,9
250	0,22	—	10	0,68	0,56	28	62	2,7
250	0,1	—	10	0,33	1,0	26	51	2,6



6 SQ 7 Fig. 1 ($R = 1 \text{ M}\Omega$)

U_b	R_a	R_k	R_g	C_k	C	$U_{a\approx}$	μ
V	M Ω	k Ω	M Ω	μF	nF	V	$U_{a\approx}/U_{g\approx}$
90	0,1	6,7	0,5	1,7	6	6	31
90	0,25	11,5	1	0,9	3	10	40
90	0,5	17,4	2	0,65	1,5	13	48
180	0,1	3	0,5	2,7	7	23	37
180	0,25	5,3	1	1,5	4	33	53
180	0,5	8,8	2	0,9	2	38	58
300	0,1	2,3	0,5	3	7	45	42
300	0,25	4,2	1	1,8	4	60	56
300	0,5	7	2	1,2	2	67	63

7 C 6 Fig. 1

U_b	R_a	R_k	R	R_g	$U_{a\approx}$	μ	h
V	M Ω	k Ω	M Ω	M Ω	V	$U_{a\approx}/U_{g\approx}$	%
100	0,47	10	1	0,47	8,5	43	5
250	0,27	3,3	1	0,47	40	53	4,8
250	0,27	—	10	0,47	39	57	5

